

名古屋大学工学部 正員 工博 松尾 滉
京都大学工学部 正員 工修○黒田勝彦

1. はじめに

実際のすべり面の形状や位置が、計算上予想したそれらとかなりかけ離れてきた経験をわれわれはもっている。この相違は、力学的な信頼度と費用函数を結合するような場合に重要な問題となるが、同時に、この問題の解明は、土質力学における破壊や変形のメカニズムの解明そのものへの接近となりうると考えられる。このような期待のもとに、筆者の一人は、数年前に砂層の崩落比の位置的なばらつきを考慮して、^{1),2)} 三の試験を行なったが、結果は不満足なものに終つていた。その後、やや短絡の感はまぬがれないが、すべり面の形状は固定し、位置の相違だけに着目して考察を進めてきたところ、この種の問題に対する一つの接近になりうると考えられるに至つたので、こゝに成果の一部を報告する。さて、土質諸係数は種々の原因によつてばらつく。それには、地盤の不均一性に起因する本来的なばらつきと、試験時の偶然的なばらつきがある。^{4),5),6)} これらのはらつきの性質を検討した結果、ほとんどの場合、正規分布や近似できることを発表した。^{4),5),6)} こゝでは、盛土を例に、強度の位置的分布と $\phi_u=0$ 法による円弧すべり面の位置的ばらつきとを結びつけ、すべり面の生起確率について考察する。

2. 地盤中の強度の分布

筆者らは、盛土の急速施工による破壊を考え、工学的に一様として取扱わざるをえない粘土層の規定法について以前に発表した。⁵⁾ また、こゝらの一様粘土層内の一軸圧縮強度 ϕ_u 、および単位体積重量 γ_c 、さらに盛土の単位体積重量 γ_b は正規分布に従い、かつこれらが互いに独立であるとともに示した。⁶⁾ この結果に基づき、こゝでは一様粘土層内の非排水せん断強度 C_u (= $\frac{\phi_u}{\gamma_b}$)を正規確率変数と考え、粘土層を図-1のようにな分割したメッシュに C_u を割り振つた。それらの中からランダムに一例を抜き出し ϕ_u の深度方向分布および C_u の度数分布の形に整理したのが図-2、3である。計算の対象は、図-1に示すように厚さ5mの粘土層上に高さ4m

Fig-1

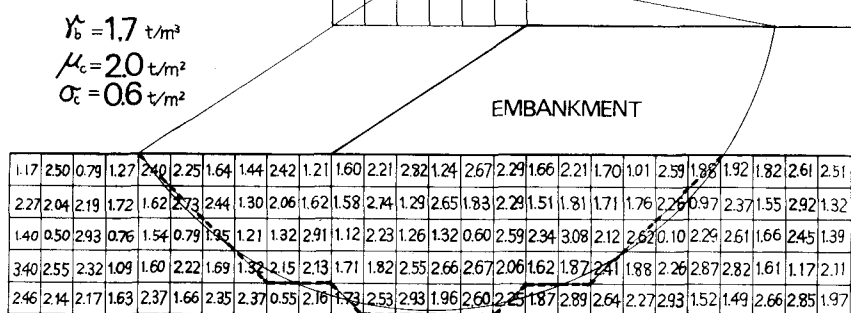


Fig-2

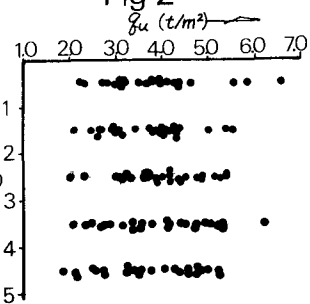
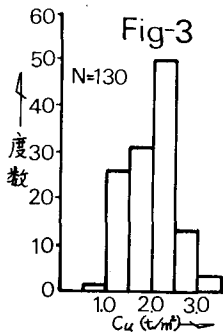


Fig-3



で斜面欠配が1.5の盛土を建設する場合とし、メッシュの大きさは1m正方形にとり、対象領域を130個に分割した。強度の位置的分布を得るために、電子計算機で正規乱数を発生させ、図-1の左上部のメッシュから右側へ順次割り振っていった。このような割り振り方は、以前、間げき比の分布を作り出す場合に用いていたが、乱数の発生回数を多めに繰り返せば、各メッシュごとの強度分布はすべて同一の分布形になり、割り振り方法自体の問題は解決される。

3. 因縫オベリ計算法について

強度が位置的にランダムな場合には、従来の計算結果にみられるような顕著な傾向を持つ安全率 F_s のコンターが得られないため、図-1に示すような格子点を限定して F_s を求めた。格子点の範囲を広げて計算した結果によるとコンターの形状は複雑になるが最小安全率 F_s^* は1つだけ求まることが確認できた。ただし、 F_s を与える格子点がかなりの範囲でばらつくことはいうまでもない。すなはち因縫オベリは図-1に示すような擬似オベリ面で置き換えて計算した。このような置換法の精度には若干の問題があるが、同様な置換法で計算した結果についての報告⁸⁾によると従来の方法と大差がないことであるから、こゝでは一応、擬似オベリ面による計算法を用いた。

4. 最小安全率 F_s^* の分布

図-4は、上に述べた方法により最小安全率を合計122回求めた結果である。図から明らかなように、 F_s^* は正規分布している。すなわち、地盤内の強度が位置的にばらついていること、 $\phi_u=0$ 法で計算出した F_s^* も本来的に図-4のようにはばらついてくる。したがって数多くのサンプリング、土質試験を通して地盤内の強度の位置的ばらつきを求め、その結果算出された F_s^* は1.5であったとしても、それは絶体的なものではなく、偶然性を容認したある信頼度によって評価されるべきである。なぜなら、得られた一組の土質試験結果は偶然その値を示したものではないと考えられるからである。また、強度が位置的にばらつくとした場合の破壊確率 P_f^* は、筆者らが従来定義してきた⁹⁾と異なってくることを予想されるが、この差異等については紙数の都合上、割愛し、別の機会に發表する。

5. 最小安全率を与える格子点の分布

前述したように、 F_s^* を与える格子点はばらついてくる。図-5は、格子点ごとに F_s^* が算出された回数を棒グラフの形で示したものである。この例によると最小安全率を与える格子点はD点が最も頻度が高く、ついでJ、K、E、I点等の順になっている。ちなみに、 $C_u = 2.5 \text{ kg/mm}^2$ (一定)として、慣用の方法で求めた最小安全率は1.51で算出格子点は丁度である。このことからも慣用の方法で求めたオベリ因縫の位置が決定的なものではなく、偶然、算出された結果に過ぎないことがわかる。また、この例のような盛土では、従来の方法で計算すると底部破壊となり、その場合、 F_s^* を与える点は、D、J、O、S、Vを結ぶ線上、すなわち中実円となることが知られている。この傾向は图-1においても一応保たれている。すなわち、この例の場合には50%以上がこの線上にある。これまで、破壊後のオベリ

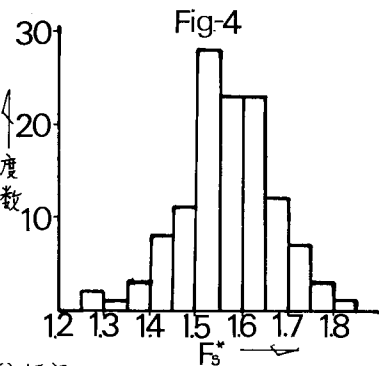


Fig-4

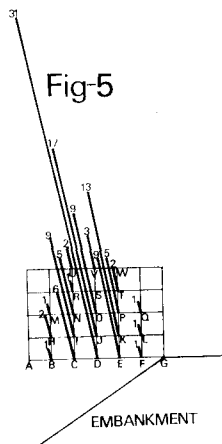


Fig-5

面に当たった場合の最小安全率と当初設計でのそれとが一致しない例がよくあるが、その原因としては、強度試験の精度、個数も異なることながら、強度が位置的にばらついている事実も含まなくていいことに注目すべきであろう。

6. 格子底での最小安全率とオヤリ円弧の半径との関係

図-5に示したように、底を与える底は各格子ごとにばらついているが、ある格子底に着目した場合、その底の最小安全率とそれに応するオヤリ円弧の半径 R^* との関係はどうなっているであろうか。この調査目的で、格子底ごとに R_s^* と R^* の相関を描いたのが図-6である。図中、●印はB, C, D, E, Fの各底での R_s^* , ×印はH, I, J, K, Lの各底での R^* , ○印はM, N, O, P, Qの各底での R^* を表している。注目すべきことは、B～F底では $R_s^* = 8.1\text{ m}$, H～L底では $R^* = 9.4\text{ m}$, M～Q底では $R^* = 10.8\text{ m}$ に集中的に現れ、格子底が左右にずれても R^* はほとんど変化しないことである。また、格子底が/m上に移動するとそれにともない R^* は1.3～1.5m程度増加していく。このことは、潜在オヤリ面の深さが、ほぼ一定であることを示唆するもので、深さ方向に強度が著しく変化しない限り、オヤリ面の深さはあまり変動しないと考えてよい。逆に言えば、オヤリ破壊を対象とするとき、強度が深さ方向に一様であるとして取扱う深度の判定を誤ると、破壊面の位置が大きく変ってくることを意味している。さて、図-6のように、各格子底の水平レベルに対して、算出される R^* がほぼ一定値となることは、オヤリ面の位置的な生起確率を考察する上で非常に都合がよい。これについては次節で述べるが、さきに、ある格子底に注目した場合の底の分布を検討しておく。分布形を検討するには少し散が少ないが、一応D底における31個の計算結果を用いて底の頻度分布を描くと図-7のようになる。この結果をみると、格子底Dでの底の分布も正規分布することがわかる。また、図-4と比較すると、全体とこの底の分散も、格子底の底の分散に近似している。このことは格子底Dで底が現れる頻度が非常に高い(いまの場合D底での頻度が25.4%)ことから、全体の底の分布がD底での底の分布に支配されることで説明される。

7. オヤリ面の位置的な生起確率について

前節まで明瞭になってきたように、オヤリ面の位置的な生起確率については、図-5, 6とともに考察することができる。まず、オヤリ面の位置を数量的に表現しなければならない。そのための手順を述べると以下のとおりである。(1) オヤリ面の深さの規定: 上述した例でわかるように、オヤリ面の深さ方向の位置は、一様粘土層の厚さ H_0 、盛土の高さ H_1 および斜面のこう配 m および粘土層の平均強度で決定される。(2) 最小安全率を与える底: 格子底ごとに(1)で求めた深度に達する円弧を描き、格子底の番号をその底での円弧に附し、オヤリ面の位置を表わす。以上のところから、ある粘土層上のある盛土についてのオヤリ面の生起確率は、最小安全率底の生起確率 P_1 とその底で、ある半径 R^* が出現する確率 P_2 との積 $P = P_1 \times P_2$ で与えられる。なぜなら、図-6の結果をとってもわかるように、ある格子底での R^* を一義的に求まるのではなく、 R^* の大きさ自身も確率变量と考えらるからである。この底を考慮に入れるとき、オヤリ面の生起確率が算出されるが、このオヤリ面の生

Fig-6

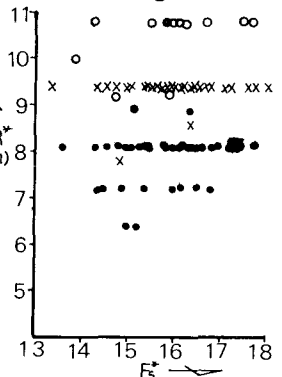
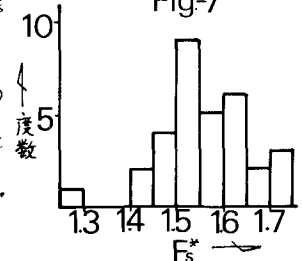


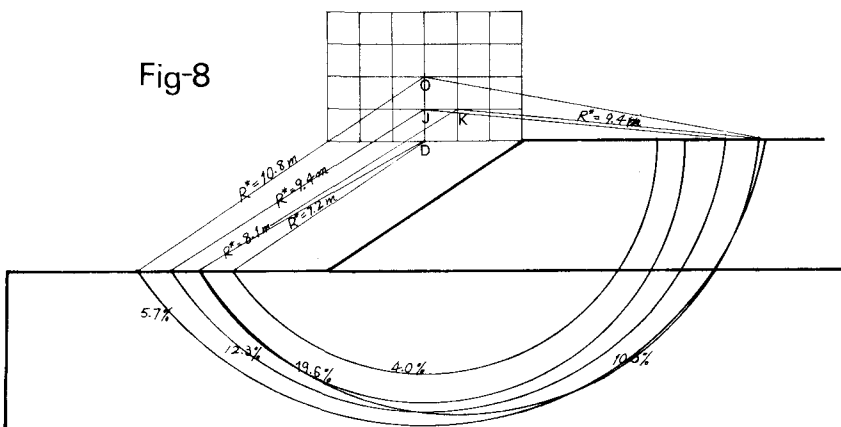
Fig-7



起確率を定式化する：とは非常に困難である。これについては今後の課題である。さて、計算例を中心として考察すると以下のとおりである。再び、格子奥Dについて考察する。この盤上の場合、格子奥Dが最小安全率を与える確率は25.4%である。また、格子奥Dですべり円弧の半径R^{*}がR^{*}=8.1mとなる確率は77%である。したがって、この円弧ですべり面が生起する確率は、ベイズ(Bays)の理論により、格子奥Dが出現する確率と、その奥でR^{*}なる半径が出現する条件付確率の積で与えられるから、 $P = P_1 \times P_2 = 0.254 \times 0.77 = 0.196$ となる。このようにして、求めたすべり面ごとの生起確率とそのすべり面の位置を図-8に示した。この結果によると、口奥で半径R^{*}=8.1mのすべり面に最も生起確率が高く(19.6%)、次いで丁奥でR^{*}=9.4mのすべり面(12.3%)、次にK奥でR^{*}=9.4mのすべり面(10.6%)となり、残りの種々のすべり面の生起確率は1~5%前後でかなり低くなっている。以上のようす、すべり面の位置的生起確率は、さらに進んで、4.で述べた破壊確率と関係づけられる。すなわち、ある盤土について、どのすべり面で破壊する可能性がいくらあるかという予測が可能である。この奥についてには、別の機会に発表したいと考えている。

なお、本研究における計算は、すべて京都大学大型計算機FACOM-230-60を使用した。参考のために、これまで実験した一連の安定計算(合計122個)に要した計算時間の合計は30分程度であったことを附記しておく。

Fig-8



参考文献

- 1) 松尾, 駒田, 高橋: 砂層の変形に関するモンテカルロ法的研究, 土木学会第20回全国学年次学術講演概要集, 1965
- 2) 松尾, 駒田: 砂層の変形に関するモンテカルロ法的研究, 土木学会第21回全国学年次学術講演概要集, 1966
- 3) 松尾, 駒田, 高橋: 砂層の変形に関するモンテカルロ法的研究, 土木学会第22回全国学年次学術講演概要集, 1967
- 4) 松尾, 黒田: 土質調査結果のはらつきと盤土の破壊確率との関係について, 土木学会第26回全国学年次学術講演概要集, 1971
- 5) 松尾, 黒田: 盤土建設のための土質調査と盤土の安定性に関する研究, 土木学会論文報告集, 第196号, PP.75~86, 1971
- 6) 松尾, 黒田: 盤土の破壊確率を考慮した土質調査根拠決定法について, 土木学会論文報告集, 第198号, PP.69~81, 1972
- 7) 松尾, 黒田: 不飽和土の土質諸係数と破壊確率に関する考察, 土木学会論文報告集, 投稿中
- 8) 都: 量子化による斜面の安定解析; 第7回土質工学研究発表会講演集, PP.523~526, 1972